

道路近傍のNO₂濃度予測に関する研究

京都大学工学部 池田 有光
平岡 正勝

1. はじめに

自動車排ガス中に含まれる汚染物質によって道路近傍における大気は汚染されるが、とくにそのうちで問題となっている汚染質は、窒素酸化物(NO + NO₂)である。窒素酸化物は局地的な汚染の場合には不活性と見なされるが、その中のNOとNO₂2成分を独立に考えると、反応性はきわめて高い。したがってNO₂濃度を予測する場合には化学反応と拡散を同時に考慮しなければならない。

これまでに提案されてきたNO₂濃度推定法には、経験公式¹⁾と、定常近似モデル²⁾がある。前者は指數関数型や回帰式がそれにあたり、後者は理論的に反応と拡散を考慮した近似解法である。両者に共通したモデルの特徴は、すみ NO_x濃度を推定しておいて、それからNO₂濃度を求める方法をとっていることである。

理論的な考察では、NO_xを不活性とするときには反応式は表-1にあげた式(a)、(b)および(c)のみが考えられている。³⁾したがってNOとO₃とNO₂には最終的には化学平衡が成り立つ。炭化水素が反応系に加わると、それから生ずる過酸化ラジカル(RO₂)によってNOの酸化が促進されて、平衡関係はくずれる。しかしRO₂濃度が高いときには、そこでのO₃濃度も高くなるため、相対的にNO₂生成の反応速度式(c)も大きく(支配方的である)なり、結局近似的に式(a)(b)および(c)によってNO₂濃度を比較的正確に推定すことができる。

以上のこととは、式(a)の反応速度定数と、O₃濃度を知ることが非常に重要なことを意味する。

本報告は、経験公式の式形の検討ならびに野外観測値へあてはめたときの結果について述べたものである。

表-1 反応式

(a)	NO _x + R ₁ → NO + O	k ₁
(b)	O + O ₃ + M → O ₂ + M	k ₂
(c)	NO + O ₃ → NO ₂ + O ₂	k ₃
(d)	NO + RO ₂ → NO ₂ + RO	k ₄

2. 経験モデル

野外のNO、NO₂、O₃の各濃度、発生源の排出強度、発生源位置、拡散場の状態の把握、および反応速度定数等の同時観測や推定を行うことは、非常に難しい。またそれを行ったとしても、測定値には、不確定な外乱、誤差、局所的な特性(とくに道路近傍、地表面近く)を含むため、それらを利用して合理的な経験公式の式形を推定することは難しい。そこで経験公式の式形の決定にあたっては、理論的近似モデルによってNO₂、NO_x濃度を計算し、その計算値を使つてそれによく適合する関数形を見つけだした。なお理論的近似モデルとは次のような条件を持っている。

- (i) NO_x濃度は正規型定常拡散公式を使つて与えた。(ii) 風下のNO₂濃度は煙の垂直断面平均濃度として捉え、その断面の大きさは、煙軸濃度の十分の一のところまでとする。(iii) NO₂濃度もNO_xと同じ扱いとする。(iv) NOを酸化するO₃はNO_xの煙の断面が膨張する分だけ煙内に採り込まれる。(v) 煙が伝搬する空間でのO₃、NOおよびNO₂のバックグラウンド濃度は均一で一定と見なし、三者間には化学平衡が成り立つ。(vi) 反応は表-1の式(a)(b)および(c)を使う。

以上の前提条件下で作成された道路に直角な風が吹くときの風下でのNO₂とNO_x濃度比の時間的変化は式(1)と式(2)で表わされる。なお記号の説明は末尾に示す。

$$\frac{d}{dt} \left(\frac{C_{NO_2}}{C_{NO_x}} \right) = -k_1 + (k_1 + k_3 C_{O_3}) \left(1 - \frac{C_{NO_2}}{C_{NO_x}} \right) + \frac{m}{t} \left\{ \frac{C_{NO_{2B}} - \left(\frac{C_{NO_2}}{C_{NO_x}} \right) C_{NO_{xB}}}{C_{NO_x}} \right\} \quad (1)$$

$$\frac{d C_{O_3}}{dt} = k_1 C_{NO_x} - k_2 (C_{NO_x} - C_{NO_2}) C_{O_3} + \frac{m}{t} (C_{O_{3B}} - C_{O_3}) \quad (2)$$

$$C_{NO_x} = \frac{0.96 Q_L}{2.15 \sigma_z \cdot u} + C_{NO_{x_B}}, \quad \sigma_z = n t^m, \quad t_0 = \left[\frac{0.96 Q_L / C_0}{2.15 n u} \right]^{\frac{1}{m}} \quad (3)$$

ここで式(1) (2)は次の初期・境界条件をもつ

$$\left. \begin{array}{l} t=t_0 \quad \left\{ \begin{array}{l} C_{NO_2} = C_{NO_{x0}} * (1-\alpha) + C_{NO_{x_B}} \\ C_{NO_x} = C_{NO_{x0}} + C_{NO_{x_B}} \end{array} \right. \\ t=\infty \quad \left\{ \begin{array}{l} C_{NO_2} = C_{NO_{x_B}} \\ C_{O_3} = C_{O_{3B}} \\ C_{NO_x} = C_{NO_{x_B}} \end{array} \right. \end{array} \right\} \quad (4)$$

そこで濃度が最大値(発生源の値)と最小値(バックグラウンド値)の C_{NO_2} , C_{NO_x} の関係を満足する経験公式として次式が提案された。

$$C_{NO_2} = \beta \cdot C_{NO_{x_B}} + (C_{NO_x} - C_{NO_{x0}}) \left[\beta + (\alpha - \beta) \exp \left\{ -a_1 \cdot (k_1 + k_2 C_{O_{3B}}) \cdot \frac{\left(\frac{Q_L}{u} \right)^{a_2}}{C_{NO_x} - C_{NO_{x0}}} \right\} \right] \quad (5)$$

$$\text{ここで } \beta = \frac{k_2 C_{O_{3B}}}{k_1 + k_2 C_{O_{3B}}} = \frac{C_{NO_{x_B}}}{C_{NO_{x0}}}$$

適当なパラメータの組み合せに対して推定された a_2 の値は、ターナーの安定度 1 ～ 5 に対して 0.648 ～ 0.727 の範囲内であった。そこで以下のモデルでは安定度 2 のときの値 0.71 が使われた。 a_1 の値は、とくに野外での反応機構が十分確定的とはみなせないので $a_1 (k_1 + k_2 C_{O_{3B}})$ を新たに $a_1 C_{O_{3B}}$ とおき、新たな a_1 の値を観測データから推定することとした。

3. 野外実測値による経験公式の作成

図-1, 図-2 は道路に垂直風下断面で立体的に同時に測定された NO_x と NO_2/NO_x の関係を示している。 \circ 印につけられた x の値は、道路からの風下距離、 \circ 印からでている破線で結ばれた Δ EP, EP, EP はそれぞれ x から鉛直上方向に図中に示される各高さまで観測された値を示している。 \circ 印の値は地上 1 m と 2.5 m での濃度測定値の平均値である。この図が示すようにある煙の断面内の NO_x と NO_2/NO_x の関係は、軸上濃度(\circ EP の値とそれと見なす)が示す関係とあまり傾向が変わらない。このことは、一つの時間での観測で(x , z)に関する NO_x 濃度さえ与えられれば NO_2 が一つの近似関数で与えられることを示している。 NO_x 濃度, NO_2/NO_x の関係は一般に図-1, 2 のような傾向がある。以下各種のケースについて NO_x と NO_2 の経験公式の検討を行ふ。

例1) 一般環境局の長期平均濃度⁵⁾ 全国に配置された一般環境局のうち 323ヶ所で測定された年平均の NO_x 濃度と NO_2 濃度の関係を定式化する。この場合 (i) NO_2 , NO_x のバックグラウンド濃度は確みてないのに 323ヶ所で同じ値をとるものと仮定する。そしてこれらの値 (O_3 以外) 公式から逆に推定する。(ii) O_{3B} はパ

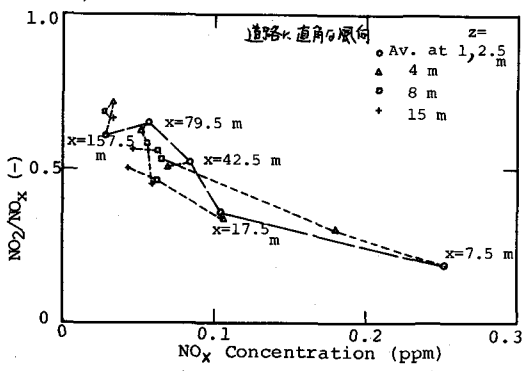


図-1 道路に直角風下断面内濃度

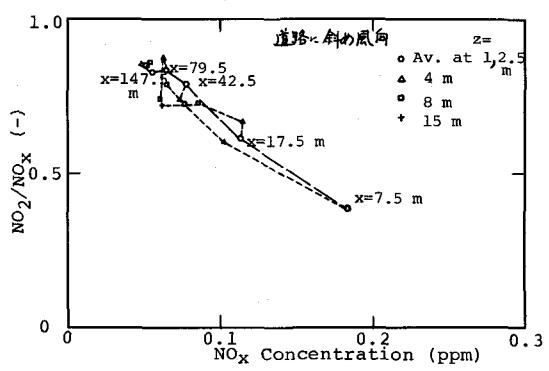


図-2 道路に直角風下断面内濃度

ラメータに含める。(iii) 排出濃度、風速は変数から除く。以上の前提下式(5)は次のようになる。

$$C_{NO_2} = a_1 + (C_{NO_x} - a_2) \left[\frac{a_1}{a_2} + (\alpha - \frac{a_1}{a_2}) \exp \left(-\frac{a_3}{(C_{NO_x} - a_2)^{\alpha}} \right) \right] \quad (6)$$

ここで $a_1 = C_{NO_{2B}}$, $a_2 = C_{NO_{xB}}$ にあたる。推定された最適パラメータの値は表-2となる。同式で求められる NO_2 と実測値の NO_2 の相関を図-3に示す。 $C_{NO_{2B}}$ にあたるもの 3.62 ppb, $C_{NO_{xB}}$ にあたるもの 5.63 ppb となる。一方非線形回帰方程式 $C_{NO_2} = a C_{NO_x}^b$ で NO_2 と NO_x の濃度の関係が表わせることも経験的に認められている。そこでこの回帰係数を求めてみると、 $a = 1.584$, $b = 0.7098$ となる。これによると NO_2 濃度の誤差平方和は 2743.8 (ppb^2) となり、式(6)のそれと比較すると後者がやゝ大きくなつた。

例2) 自動車排ガス局の長期平均濃度⁵⁾ 全口の測定局のうち 170ヶ所の自排局における年平均 NO_x 濃度と年平均 NO_2 濃度の関係式を求める。経験公式は例1と同様とする。ただし、一般環境局と自排局での a_1 と a_2 の値は同じであると考えるべきであるのでここでの a_1 と a_2 は例1で推定した値を使ふ。 a_3 と a_4 を推定すると、 $a_4 = 0.533$ を得た。(例1の a_4 の値を使って a_3 の値のみを推定しても、誤差はほとんど変動しないことが明らかになつたので、 a_4 も例1と同じ値を使ひ a_3 のみを推定した。自排局の $a_3 = 20$ は一般局の $a_3 = 29.1$ より少しあがる。この数値の傾向は現象的にも合理的である。なぜならば、自排局は一般局よりも発生源に近いため、前者の汚染成分は後者のそれよりも反応が進んでいないと判断され、その結果が数値に現われたものと見なせらかうである。

一方 $C_{NO_2} = a C_{NO_x}^b$ で近似したとき $a = 2.842$, $b = 0.528$ となり、その誤差平方和は 5816.7 (ppb^2) となる。この場合も後者の誤差がやゝ大きくなつた。

例3) 道路近傍の汚染⁶⁾ 利用したデータは、環境庁が大阪府に委託して行った道路近傍の特別観測結果である。

- データの利用に際して次のような諸条件をえた。
- 地形区分としては、平地、中低層住宅、高層ビルに区分する。
 - 風速は、高層では 5.2 m の値、それ以外では 1.5 m の値を使った。
 - 道路に吹く風向を直角風、斜風、平行風に区分した。それを 45°の角度内に風向頻度が 50% 以上入るときのデータを使用した。
 - 有風時は風速が 0.8 m/sec 以上と定義した。
 - NO_{xB} , NO_{2B} , O_3B は観測値を利用し、 NO_{xB} は

表-2. 推定したパラメータの値と誤差

	a_1	a_2	a_3	a_4	データ数	誤差平方和
一般	3.62	5.63	29.1	0.787	327	2567.7
自排	上と同じ	上と同じ	20.8	上と同じ	170	5659.1

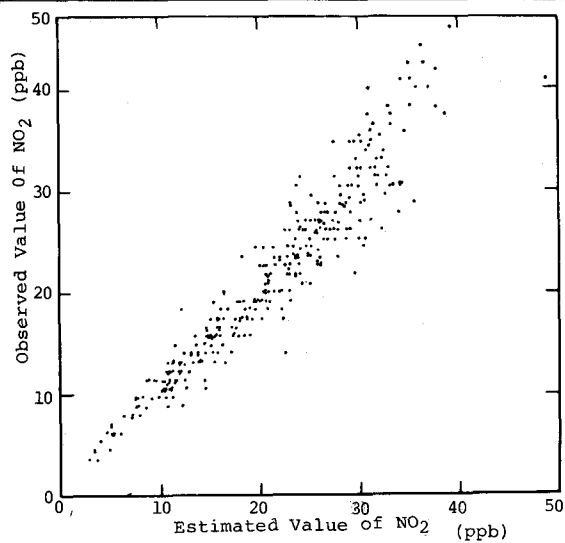


図-3. 一般環境局の年平均実測値と計算値の相関

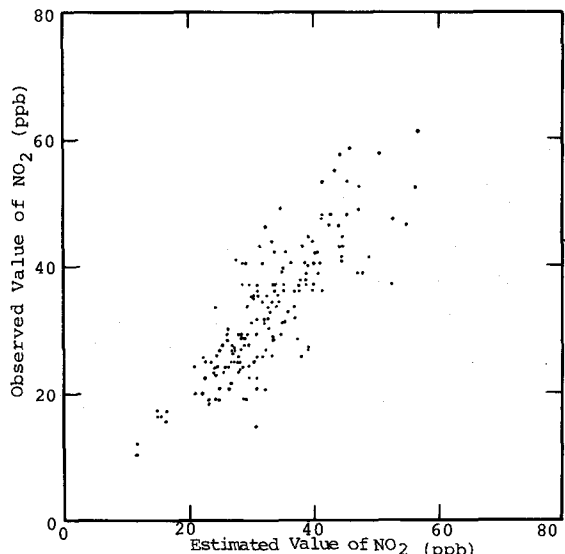


図-4. 自排局の年平均実測値と計算値の相関

観測値(風上での値など)の最小値をヒリ、 NO_{2B} と同じところのデータを採った。 O_{3B} は観測実測値で、それより得られた値の最大値を採用了。

- (vi) 有風時には風下道路端のみ高さ4m以上の NO_x , NO_2 データを除外した。その他は風下全観測値を使用。
- (vii) 道路に直角な風でないときにも式-7を使用した。

$$C_{NO_2} = C_{NO_{2B}} + (C_{NO_x} - C_{NO_{xB}}) \left[\frac{C_{NO_{2B}}}{C_{NO_{xB}}} + \left(\alpha - \frac{C_{NO_{2B}}}{C_{NO_{xB}}} \right) \exp \left\{ -\alpha \frac{O_{3B} \left(\frac{Q_L}{u} \right)^{0.71}}{C_{NO_x} - C_{NO_{xB}}} \right\} \right] \quad (7)$$

上式を使って実測値にフィティングしたとき得られたパラメータの値と、それによって求めた NO_2 計算値と実測値の相関等の結果は表-3にまとめて示した。同結果から得られた知見は(i) 道路上に対して風向が変化しても、 NO_2 の NO_x からの

表-3. 道路近傍での地形、風の条件に応じた経験公式的係数と相関

風と道路地域の特徴	a_1	計算値と実測値の相関						Data 数	
		$C_{NO_2} - C_{NO_{2B}}$		C_{NO_2}		相関係数			
		β_1	β_0	β_1	β_0	β_1	β_0		
全域無風	3.70	0.96	0.77	0.862*	0.99	1.01	0.970*	288	
有風	平坦地斜風	1.36	1.19	-0.77	0.734	1.12	-1.30	0.936	
	低中層直角風	4.33	0.97	0.39	0.799*	1.06	-2.31	0.948	
	低中層斜風	4.40	0.89	1.49	0.776	0.92	3.22	0.932	
	低中層平行風	5.08	1.10	-2.57	0.807	1.04	-3.24	0.974	
	高層斜風	2.04	0.79	5.12	0.727	0.94	5.95	0.924*	
								54	

うに示したときの回帰式 $C_{NO_2} = \beta_0 + \beta_1 C_{NO_x}$ の係数である。*印のついているものは β_0, β_1 の求まるたる値の $\beta_0 = 0, \beta_1 = 1$ に対する検定で両者共に有意水準 95% で棄却されないケースである。

図-5 は表-3の結果の一例として、無風をとり上げ、 NO_2 の実測値と計算値の相関を示している。

4. 結論

図-6 中のアロットは、西宮市が1時間値として連続24時間にわたって、幹線道路端(端より風下4.4mの地上)で特別観測した NO_x と NO_2 濃度の関係を示したものである。図の左上のアロットは1日で交通量の多い時間での高濃度の値を示し、左下のアロットは夜間交通量の少ない場合にあたる。

一方同図中の曲線は例2によって得られた自排局の公式を使って求めた計算値を示す。曲線はやや実測値よりも NO_2 濃度を過大に推定しているが、これは観測値が自排局のそれよりも、発生源の近傍であるので自排局の汚染物質より反応が進行していないことを示すとも考えられる。このように経験公式的平均した時間の累積と測定例などへの適用と検討を行いうる事があるが、一般的なモデルの特徴を示すと次のようになる。

① O_{3B} が得られない場合など時々に応じて経験公式的

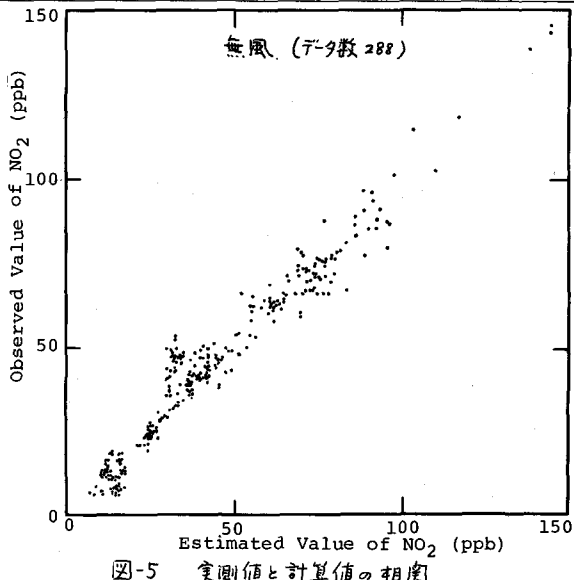


図-5 実測値と計算値の相関

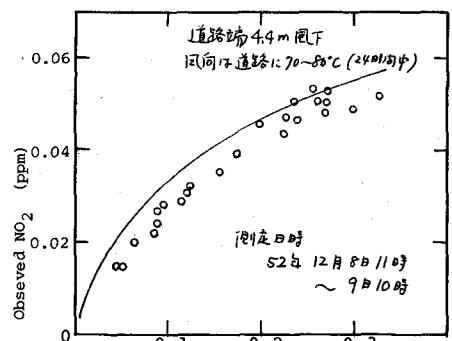


図-6 西宮市で特別観測された NO_x, NO_2

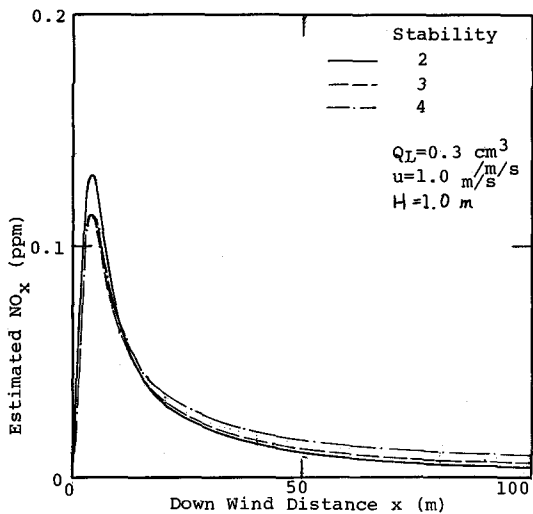


図-7 道路: 直角風で 1.0m/s での各安定度による風下距離と NO_x 濃度の計算による値

して利用することができる。② 高濃度から低濃度の広い範囲にわたってモデルを適用することができます。③ 道路近傍での NO₂ と NO_x の関係は、道路に対する風向の違いにあまり鋭敏な影響が現われていない。④ 公式の変数から (Q_L/u) を除くと、発生源と観測地実の距離によって指數項の分子にかかる係数が変化する傾向がみられ、煙源が近いときは小さく、遠いときは大きくなる。⑤ O_3B を変数にするとその方が NO_x 濃度の推定精度は高くなる。

次に式(7)において $a_1 C_{O_3B}$, C_{NO_2B} , C_{NOxB} における係数を求めて解いた。 C_{NO_2} と C_{NOx} の関係を図-8.1~4 に示しておく。なお終源排出強度 Q_L は 0.4 cm³/m/s を、風速は 1 m/s と 2 m/s、安定度はターナーの安定度 2 と 3 を仮定している。このような場合いくつか求めておくと、道路近傍での諸係数が確定されればそれなら NO₂ 濃度を推定できます。図中で縦座標軸の切片は β の値を示すが、そこから 3 本に曲線が分かれて出ていて、これは上から $a_1 C_{O_3B}$ がそれぞれ 0.12, 0.08, 0.04 のケースに対する曲線を意味している。

図-7 は、ターナーの方法による拡散公式で求めた道路から直角風下での地表面の汚染濃度分布を示している。

経験式(7)を使用するにあたって NO_x の濃度の

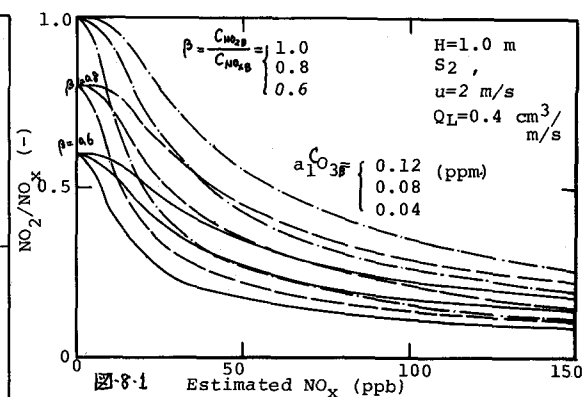


図-8-1 Estimated NO_x (ppb)

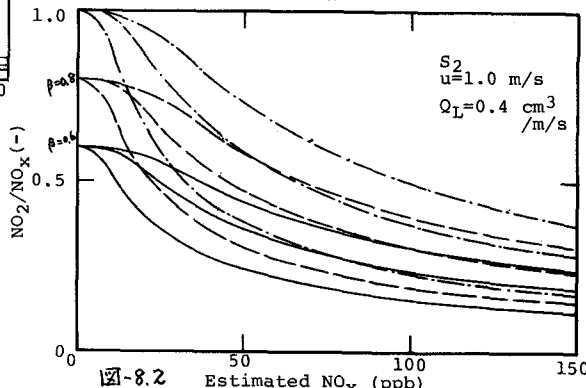


図-8-2 Estimated NO_x (ppb)

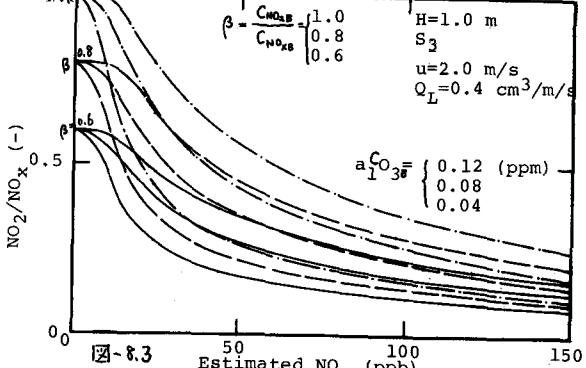


図-8-3 Estimated NO_x (ppb)

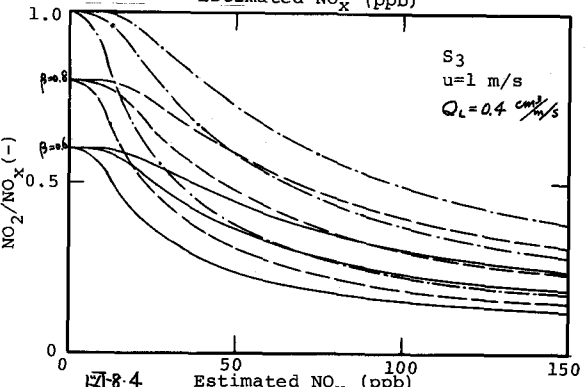


図-8-4 Estimated NO_x (ppb)

推定精度を上げるために、 NO_2 , NO_x , O_3 の各バックグラウンド濃度を正確に把握することが必要である。

おわりに、道路近傍の NO_x 濃度、自動車排ガス強度、気象条件等、多くの野外観測資料は、環境省大気保全局大気規制課ならびに大阪府から提供を受け、同時に関係者が多大な協力と便宜を賜った。紙上を借りて、ここに関係各位に心から厚く謝意を表します。なお、計算処理等は、京都大学大型計算機センターを利用した。

記号説明

- a_i , b : 推定することにより求めよペラメータ
 C_i : i 成分濃度 (ppm, or, ppb)
 C_{iB} : i 成分のバックグラウンド濃度 (%)
 k_f : 反応速度定数 (ppm·minの単位)
 m, n : ターナーの方法による煙の分散を示すペラメータ
 Q_L : 緑煙源排出強度 ($\text{cm}^3/\text{m}^2\text{s}$)

- RO_2 : 過酸化ラジカル (ppm)
 t : 時間、太字は発生源初期濃度に相等する仮想的滞留時間, (min)
 u : 風速 (m/s)
 α : 発生源における C_{NO_2}/C_{NO_x} の値で 0.05 と 3
 β : C_{NO_2}/C_{NO_xB} の値 (-)
 σ_2 : 煙の鉛直方向の分散の標準偏差, (m)

参考・引用文献

- 1) 横山長之 山本晋： NO_x の大気該散の予測について、産業公報, 11, 6, 1975
- 2) 木村富士男： 近似解法による NO , NO_2 , O_3 の反応該散モデル、大気汚染学会誌, 13, 2, 1978
- 3) 池田有光、平岡正勝、河本達男： 大気汚染光化学反応機構のモデル化—着色木素、窒素酸化物系—、大気汚染研究 11, 6, 1977
- 4) 池田有光、平岡正勝： 大気中二酸化窒素の汚染濃度予測モデル(Ⅱ)－理論的検討－、大気汚染学会誌 14, 6, 1979
- 5) 環境省大気保全局大気規制課編： 日本の大気汚染状況、昭和53年度版
- 6) 大阪府： 低煙源該散実態調査報告書、環境省基淮調査、昭和52, 53年3月
- 7) 西宮市： 西宮の環境、昭和52年度版